

鋒面生成與帶狀降水

劉廣英

徐忠民

摘要

本文包括三部分，一為鋒生的分析與探討，二為偏地轉風的區分，以及三對稱或斜對流不穩定與鋒面區帶狀降水。報告中除了介紹有關理論及演變過程外，並介紹TAMEX中的一次個案。對於理論部分僅做極簡要介紹，不足部分尚請參閱文後各參考文獻。

一、前言

隨著梅雨季的到來，驟烈性降水或雷雨發生機率增大，是我們氣象從業人員的“考驗期”，也是日常生活中很不方便的時期。宋朝歐陽修的「碟戀花」就有

雨橫風狂三月暮，
門掩黃昏，無計留春住。
淚眼問花花不語，
亂紅飛過鞦韆去。

“連綿陰雨”的日子實在無奈！

關於與鋒面有關的降水，尤其是豪雨的問題，研究與論說都很多，各位知道的亦不少，上個月（82.4.26.）為期數天的國際研討會亦有很好的報告與討論，本文當然不能談那麼多，而只談其中的一個問題「斜對流與對稱不穩定」。

二、現象探討

一、鋒生及發展速率

如只考量穩定地轉伸展變型 (steady geostrophic deformation)，鋒的發展率 (rate of surface front development) 可由

$$\frac{Dg}{Dt} \left(\frac{R}{P} \nabla T \right) = \vec{Q}$$

式中

$$\frac{Dg}{Dt} \equiv \frac{\partial}{\partial t} + \vec{V}_g \cdot \nabla = \frac{\partial}{\partial t} + u_g \frac{\partial}{\partial x} + v_g \frac{\partial}{\partial y}$$

$$\vec{Q} = \left(-\frac{R}{P} \frac{\partial V_g}{\partial x} \cdot \nabla T, -\frac{R}{P} \frac{\partial V_g}{\partial y} \cdot \nabla T \right)$$

$$\equiv (Q_1, Q_2)$$

如果溫度梯度為南北向，x 為等溫線方向，且為北冷南暖，則

$$\vec{Q} = -\frac{R}{P} \left(\frac{\partial T}{\partial y} \right) \left(\frac{\partial u_g}{\partial x} \hat{i} - \frac{\partial u_g}{\partial x} \hat{j} \right)$$

$$\therefore \frac{Dg}{Dt} \left(\frac{\partial T}{\partial y} \right) = - \left(\frac{\partial u_g}{\partial y} \frac{\partial T}{\partial x} - \frac{\partial u_g}{\partial x} \frac{\partial T}{\partial y} \right) \quad (1)$$

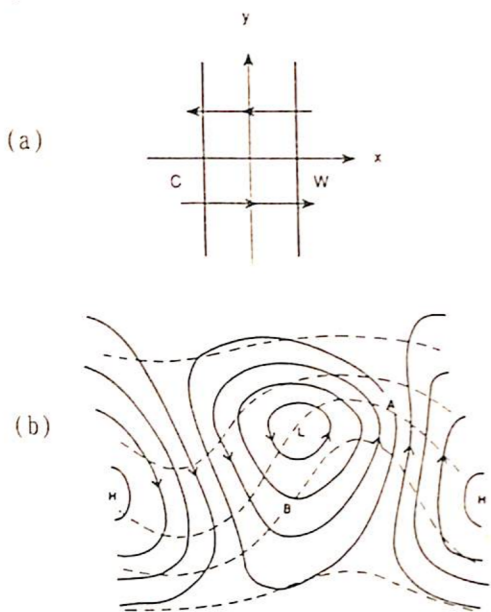
在簡化過程中我們假設

$$\nabla \cdot \vec{V}_g = 0 \rightarrow \frac{\partial u_g}{\partial y} = -\frac{\partial u_g}{\partial x}$$

(1)式中包括兩種使經向溫度梯度加大，即鋒面增強的作用力：水平風切變型 (horizontal shear deformation) 與伸展變型 (stretching deformation)。

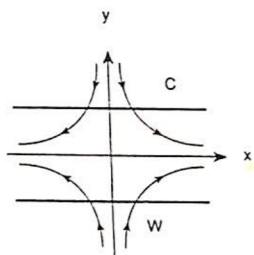
水平風切變型乃是由於切變渦度 (shear vorticity) 會使氣塊旋轉 (rotate the parcel)，同時，使得氣塊在風切向量方向變型的結果 (如圖一所示)，(b) 圖中之 B 點即有此種變型

一旋轉且增強。此過程對冷暖鋒生均為重要機制。



圖一 旋轉變型

純水平伸展變型是無輻散且無旋轉的 (irrotational and nondivergent)，即如圖二所示，亦可以合流 (Confluent flow) 與分流 (diffuent flow) 視之。它會使溫度沿拉長線(x) 密集，但由



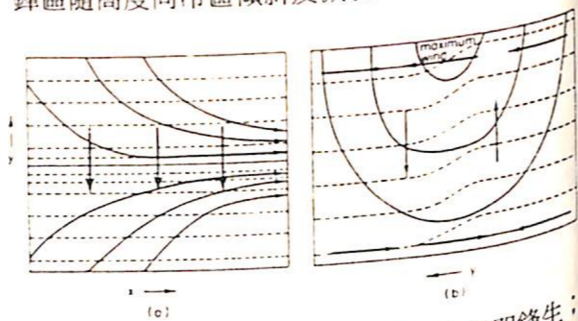
圖二 水平伸展變型

$$\frac{Dg}{Dt} \left(\frac{\partial T}{\partial y} \right) = K \frac{\partial T}{\partial y}$$

$K \equiv \frac{\partial u g}{\partial x}$ 就是 $\left| \frac{\partial T}{\partial y} \right|$ 的增長率，亦即 $\left| \frac{\partial T}{\partial t} \right|$ 的增長時間為 K^{-1} 。如果 $u g$ 為每 1000 公里改變 10 ms^{-1} ，則 $\left| \frac{\partial T}{\partial t} \right|$ 增強 e' 倍所需時間約為 10^5 秒

> 2 天，較實際觀測到鋒面多在 1 - 2 天內生成。

其次，由於平均而言高空有強西風，天氣圖上常看不出純粹的變型場，但實際的狀況是只要平均緯流與伸展變型而形成氣流的匯合 (confluent)，仍能使等溫線沿伸展線集中而發生旋生，並引發垂直及橫向運動 (即橫過鋒面的氣流) (見圖三)。橫向氣流即偏地轉風，它使得相對於最大風軸 (噴流) 下方，溫度較高一邊 (圖中 A 點) 的溫度與同層溫度較冷一邊 (B 點) 的溫度梯度加大，這不但使鋒生速率加快，且形成鋒區隨高度向冷區傾斜及減弱的現象。



圖三 (a) 合流引起等溫線 (點線) 密集即鋒生；(b) 合流之垂直剖面。圖中點線為等溫線，實線為等風速線，箭頭則顯示垂直及橫向運動 (取自 Holton, 1992)。

為解釋上述偏地轉次環流的動力，學者做下述訂正：(1) 除浮力項中的空氣密度外，其它項中的密度 $\rho = \rho_0$ (Boussinesq 近似)；(2) 以偏差量代替氣壓及位溫，即設 $\Phi(x, y, z, t) \equiv (p - p_0) / \rho_0$ ， $\Theta = \theta - \theta_0$ 。準此，運動方程、熱力方程、連續方程及流體靜力方程均略有改變，而構成半地轉 (semigeostrophic) 方程組，解

析此方程組可發現當溫度梯度增大時 $Q_2 (= -\frac{R}{P} \frac{\partial \nabla g}{\partial y} \cdot \nabla T)$ 隨之增加，它所引起之垂直次環流

($v a = -\partial \psi / \partial z$, $\omega = \partial \psi / \partial y$ ，而 ψ 則可由橢圓方程 $N^2 \partial^2 \psi / \partial y^2 + f^2 \partial^2 \psi / \partial z^2 = 2Q_2$ 透過適當之邊界條件解之) 必然增加，進而使

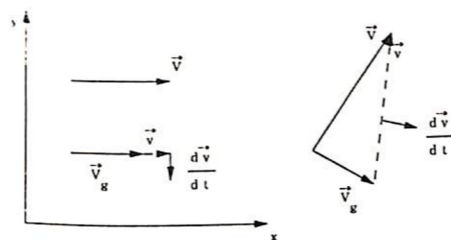
度再增大的正回饋 (Positive feedback) 過程。在此半地轉模式中鋒生的時間較近地轉模式小很多。

(二) 除此之外，穩定的鋒系中，有中尺度，與鋒大致平行的降水帶 (rain band)，其成因為何？

對於問題 (一)，偏地轉 (或偏梯度) 風次環流，亦即風場的輻散有決定性的貢獻。同時，絕對環流 $C = \oint T dS$ 亦即如果在等熵面上有溫度梯度存在時，亦為貢獻之一。至於問題 (二) 則可用對稱不穩定，亦即斜對流解釋之。

三、偏地轉風及偏梯度風

藉此機會先分析一下偏地轉風及偏梯度風。假設原來的大氣是不動的，若空氣受到氣壓梯度，即高低氣壓系統剛發生時，地轉平衡尚未達成，即如圖四所示，也就是說，空氣塊會向高低氣壓加速 ($\vec{\sigma} = d\vec{u} / dt$)，此加速的風稱之為偏地轉風，以 \vec{u}' 表之，



圖四 偏地轉風與氣塊 (parcel) 加速度

$$\vec{u}' = \vec{V} - \vec{V}_g$$

在加入摩擦項 (\vec{F}) 後，寫成向量型式即為

$$\frac{d\vec{V}}{dt} - \vec{F} = f \hat{k} \times \vec{u}'$$

$$= \frac{\partial \nabla g}{\partial t} + \vec{V} \cdot \nabla \nabla g + W \frac{\partial \nabla g}{\partial z} + \frac{du}{dt} - \frac{F}{f}$$

$$\therefore \vec{u}' = \frac{1}{f} \left(\frac{\partial \nabla g}{\partial t} + \vec{V} \cdot \nabla \nabla g + W \frac{\partial \nabla g}{\partial z} + \frac{du}{dt} \right) - \frac{F}{f}$$

(A) (B) (C) (D)

此顯示偏地轉風來自以下各項：

(A) 地轉風的局部加速，即等變壓風。

- (B) 平流加速。
- (C) 對流加速。
- (D) 偏地轉加速。

(一) 等變壓風 (isallobaric wind) :

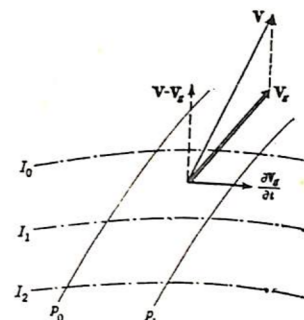
$$\vec{V}_g = -\frac{1}{f\rho} \hat{k} \times \nabla P$$

$$\frac{\partial \nabla g}{\partial t} = -\frac{1}{f\rho} \hat{k} \times \nabla \left(\frac{\partial P}{\partial t} \right)$$

$$\therefore \vec{u}' = -\frac{1}{f} \hat{k} \times \frac{\partial \nabla g}{\partial t}$$

$$\therefore \vec{u}' = -\frac{1}{\rho f^2} \nabla \left(\frac{\partial P}{\partial t} \right)$$

由上式可知，偏地轉風指向氣壓變化下降最快之處。由圖五亦可顯示說明此局部 (local) 加速之現象，其物理意義乃為在氣壓梯度力與科氏力未能達成平衡時，由於綜觀尺度大氣運動是近似地轉平衡的，必發生調節作用，即氣壓會隨時間有所改變，而當氣壓梯度隨時間增加 (減少) 時，風速會增加 (減少)，而發生跨過等壓線指向較低 (較高) 處的偏地轉風 ($\vec{V} - \vec{V}_g$)。



圖五 因氣壓局部變化而生之偏地轉風 (I 為氣壓趨勢)。(取自 Haltiner & Martin, 1957)

(二) 平流型偏地轉風 (advective ageostrophic wind)

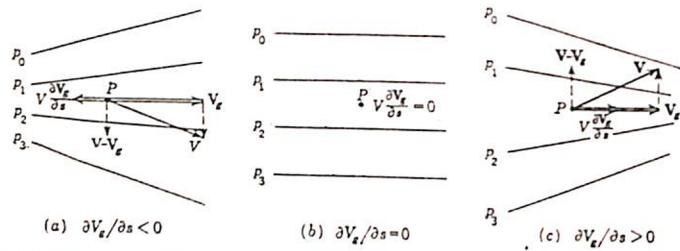
$$\frac{d\vec{V}}{dt} \text{adv} = f \hat{k} \times \vec{u}'$$

$$\vec{v}_a = \vec{V} \cdot \nabla Vg = V \left(\frac{\partial Vg}{\partial S} \right)$$

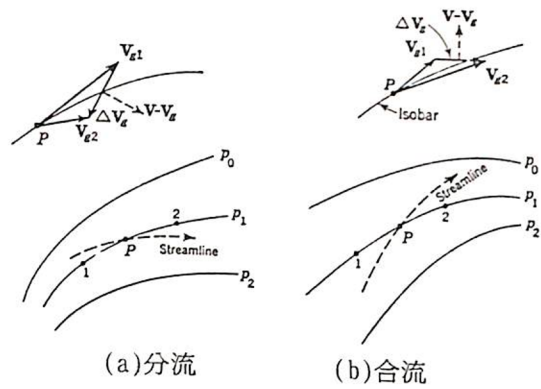
即順風而看V與Vg變量的積。此顯示 $(\frac{dV}{dt})_{adv}$

與 $V(\frac{\partial Vg}{\partial S})$ 成正比且與 δVg 同向，而 \vec{v}_a 則與 δVg

垂直。圖六-1及-2分別表示直線和彎曲等壓



(圖六-1) 直線等壓線。因氣壓梯度改變而生之偏地轉風。



(圖六-2) 彎曲等壓線 (取自Haltiner & Martin, 1957)

線的情形，其中圖(a)風有減速度且偏向右(高壓)為超地轉風，(b)則為次地轉風。在直線等壓線分布中則有超梯度風(圖六-1(a))及次梯度風(圖六-1(c))。

由圖可見，無論是直線或曲線等壓線，只要梯度有改變，則風都會受到 \vec{v}_a ，即加速的影響，此加速度一方面使風向偏向低或高壓，一方面減小或加大風速以使之達到新的力的平衡關係。由於彎曲等壓線的力作用一項(向心力)，所以偏梯度風與偏地轉風並不一定相同。

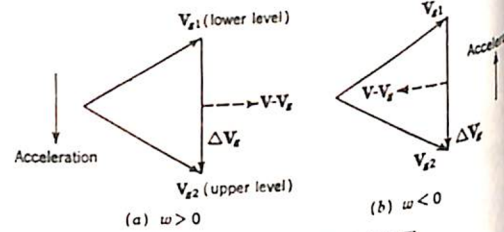
(三)對流型偏地轉風 (convective ageostrophic

wind)

$$\left(\frac{dV}{dt} \right)_c = f u'_c \times k = f w \left(\frac{\partial Vg}{\partial z} \right)$$

$\left(\frac{dV}{dt} \right)_c$ 與 δVg (\equiv 熱力風 $\propto \nabla T$)平行，亦即與

等溫線平行(高溫在右邊)， u'_c 則與 δg 垂直左。



(圖七) 垂直運動所引起之偏地轉風 (取自Haltiner & Martin, 1957)

由圖七可知，當上升運動中 $w > 0$ ， $w(\frac{\partial Vg}{\partial z})$ 與 δVg

同號，所以 v_c 向低溫區；而下降運動中 $w < 0$ 則 $w(\frac{\partial Vg}{\partial z})$ 與 δVg 反號，即 v_c 向高溫區。故由

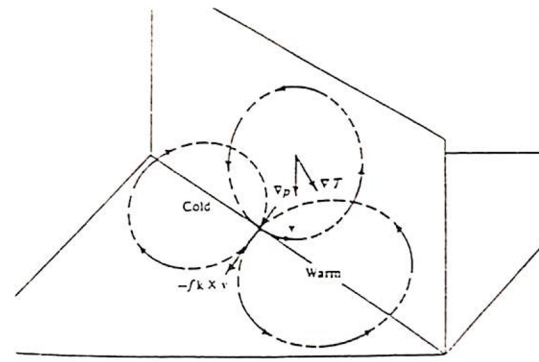
以上可顯示上升運動中偏地轉風由暖吹向冷區而下沈運動中，偏地轉風由冷吹向暖區，使得空氣在下暖空氣在上→鋒面結構。

(四) $\frac{du'}{dt}$ 為偏地轉風加速度，為瞬間陣風的主因。而 $-\vec{F}/f$ 則為摩擦(阻力)作用項，使風偏向低溫。

由上述可知，偏地轉(梯度)風的發生原因很多，但都是為了做適度的調節以保持地轉(梯度)風平衡。在鋒生過程中透過此一調節以保持因鋒區溫度梯度加大而增強的垂直風切亦即熱力風，進而產生半地轉模式中的正回饋機制，所以在日常工作中要重視偏地轉風的演變。其次，

$$\frac{dc}{dt} = \phi T ds = R \int \{ F(P) \nabla \theta \times (-\nabla P) da$$

可知(如圖八)，當冷高壓南下中，力管效應會引發冷空氣侵入暖空氣區(Cold air injection)，形成垂直環流及跨鋒面氣流，有利低壓生成發展及鋒生。以上討論，不但說明鋒面可快速形成，且顯示有斜對流產生。

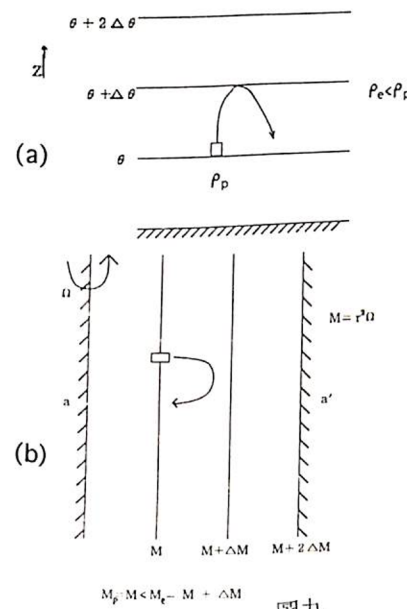


(圖八) 由力管作用引發冷空氣侵入暖空氣所形成之地面旋生(取自Dutton)。

四、對稱不穩定

鋒面雲系中，與鋒面平行的雲帶以及相伴之帶狀降水，可用對稱不穩定說明之。

(一)考慮如圖九的兩種狀況：



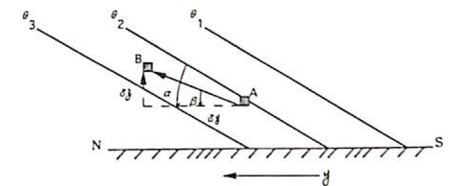
(圖九) 圖(a)為密度為 ρ 之氣塊在該位溫(θ)分布下的運動，而圖(b)則係角動量M之氣塊在旋轉流的運動。

(氣流在aa'間旋轉)中做徑向(a→a')運動，由於受到負的浮力及慣性作用(a)與(b)中的空氣塊受外力作用位移後當外力消失後都有回至原位的加速度，即為穩定的情形。

(二)斜對流 (slantwise convection)：

對實際大氣運動而言，我們可做下述修訂以與實際狀況相附。如圖十中氣塊在A處與環境是平衡的，即

$$T = T_p = T_e, \theta_p = \theta_e, P_p = P_e, V_p = V_e$$



移到B處後氣塊的溫度為

$$\left[T + \left(\frac{dT}{dp} \right)_p dp \right]_B \equiv T + \left(\frac{\partial T}{\partial y} \delta y + \frac{\partial T}{\partial z} \delta z \right) \dots (2)$$

而B處的氣溫則為

$$\left[T + \frac{\partial T}{\partial y} \delta y + \frac{\partial T}{\partial z} \delta z \right]_e \equiv T + \left[\frac{T}{\theta} \frac{\partial \theta}{\partial y} + \frac{KT}{P} \frac{\partial P}{\partial y} \right] \delta y + \left[\frac{T}{\theta} \frac{\partial \theta}{\partial z} + \frac{KT}{P} \frac{\partial P}{\partial z} \right] \delta z \dots (3)$$

$$\rightarrow T_p - T_{eB} = (2) - (3) = -T \left(\frac{1}{\theta} \frac{\partial \theta}{\partial z} \delta z + \frac{1}{\theta} \frac{\partial \theta}{\partial y} \delta y \right)$$

所造成之浮力 (buoyancy force) 為

$$F_B = g \left(\frac{T_p - T_{eB}}{T} \right) = -g \left(\frac{1}{\theta} \frac{\partial \theta}{\partial z} \delta z + \frac{1}{\theta} \frac{\partial \theta}{\partial y} \delta y \right)$$

除浮力外，由於是南北斜對流，所以氣塊還會受

到柯氏力與氣壓梯度改變的影響；在A至B中，如所用時間為 δt ，則柯氏力改變會引起x方向的風速改變，其量為 $f u \delta t = f dy$ ，即氣塊移到B時所受之柯氏力增加 $f^2 \delta y$ 。其次，由於 θ 面是斜的，所以水平氣壓梯度會隨高度改變，即 ∇p 的變化；

$$\frac{\partial}{\partial y} \left(-\frac{1}{\rho} \frac{\partial p}{\partial y} \right) \delta y + \frac{\partial}{\partial y} \left(-\frac{1}{\rho} \frac{\partial p}{\partial y} \right) \delta z$$

$$= f \frac{\partial u_g}{\partial y} \delta y + f \frac{\partial u_g}{\partial z} \delta z$$

即在新位置B處，氣塊會受到 F_H 以外的另一個力

$$F_H = f \frac{\partial u_g}{\partial y} \delta y + f \frac{\partial u_g}{\partial z} \delta z - f^2 \delta y$$

$$= f \left[\frac{\partial u_g}{\partial z} \delta z - \left(f - \frac{\partial u_g}{\partial y} \right) \delta y \right] = \nabla$$

這就是說，單位質量氣塊由A移到B其加速度為

$$\vec{a} \equiv \frac{d^2 \Delta}{dt^2} = F_B \sin \beta + F_H \cos \beta \dots \dots (4)$$

$$\begin{pmatrix} \vec{a}_B \\ \vec{a}_H \end{pmatrix}$$

如 $\beta = 90^\circ$ 即垂直運動，則 $\delta y = 0, \Delta = z$

$$\therefore \frac{d^2 z}{dt^2} = g \left(\frac{T_p - T_e}{T_e} \right) \text{——熱對流}$$

由公式(4)可知，斜對流不穩定包括 (Rogers & Yau) :

$$\textcircled{1} \frac{d^2 \Delta}{dt^2} = F_B \cos \beta$$

$$= f \delta y \cos \beta \frac{\partial u_g}{\partial y} \left[\frac{\partial z}{\partial y} - \frac{\left(f - \frac{\partial u_g}{\partial y} \right)}{\frac{\partial u_g}{\partial y}} \right]$$

$$= f \delta y \cos \beta \frac{\partial u_g}{\partial z} \left(\frac{\partial z}{\partial y} - \frac{\frac{\partial M}{\partial y}}{\frac{\partial u_g}{\partial y}} \right)$$

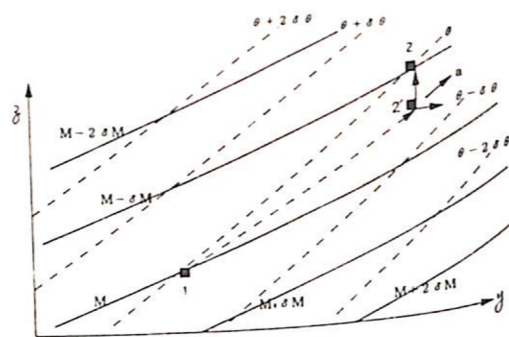
其中 $M \equiv f y - u_g$ ，稱為絕對緯向動量 (absolute zonal momentum)。即沿等熵面位移，稱為「等

熵慣性不穩定」。式中 $\frac{\partial z}{\partial y}$ 為等熵面斜率； $\frac{\partial M}{\partial y}$

為緯向平均的絕對渦度；

$$\frac{\partial M / \partial y}{\partial u_g / \partial y} = \frac{\eta z}{\eta y}$$

為絕對緯向動量的斜率亦即渦度z分量(ηz)與y分量(ηy)之比。由圖十一可知，當等熵面斜率 $>$ 絕對緯向動量(M)的斜率 $1 \rightarrow 2$ 時，M減小，即為不穩定。



圖十一

②二維(y,z)斜壓不穩定：(Two dimensional baroclinic instability)

$$\frac{d^2 \Delta}{dt^2} = F_B \sin \beta$$

$$= -g \left[\frac{1}{\theta} \frac{\partial \theta}{\partial z} \delta z + \frac{1}{\theta} \frac{\partial \theta}{\partial y} \delta y \right] \sin \beta$$

$$= -g \left(\frac{1}{\theta} \frac{\partial \theta}{\partial z} \right) \delta y \sin \beta$$

$$\left[\frac{\delta z}{\delta y} - \left(\frac{\frac{\partial \theta}{\partial y}}{\frac{\partial \theta}{\partial z}} \right) \right]$$

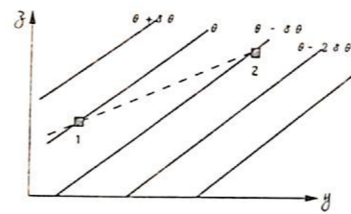
式中 $\frac{\delta z}{\delta y}$ 為氣塊位移路徑的斜率， $-\frac{\partial \theta}{\partial y}$

$\frac{\partial \theta}{\partial z}$ 為等熵面的斜率；即當

$$\frac{\delta z}{\delta y} \geq \frac{-\frac{\partial \theta}{\partial y}}{\frac{\partial \theta}{\partial z}}, \frac{d^2 \Delta}{dt^2} \leq 0 \text{ 穩定}$$

$$\frac{\delta z}{\delta y} < \frac{-\frac{\partial \theta}{\partial y}}{\frac{\partial \theta}{\partial z}}, \frac{d^2 \Delta}{dt^2} > 0 \text{ 中性}$$

$$\frac{\delta z}{\delta y} < \frac{-\frac{\partial \theta}{\partial y}}{\frac{\partial \theta}{\partial z}}, \frac{d^2 \Delta}{dt^2} > 0 \text{ 不穩定}$$



圖十二

由圖十二中1至2時 θ 減小，即為不穩定。

③當①+②時， θ 斜率 $>$ M斜率，即氣塊兩者所夾銳角內位移，如圖十一中1至2的狀況，沿虛線路徑。

$$\frac{\left(\frac{\delta z}{\delta y} \right) M}{\left(\frac{\delta z}{\delta \theta} \right) \theta} = \frac{f \left(f - \frac{\partial u_g}{\partial y} \right) \left(\frac{g}{\theta_0} \frac{\partial \theta}{\partial z} \right)}{f^2 \left(\frac{\partial u_g}{\partial z} \right)^2}$$

$$= F^2 \omega_g^2 S^4$$

式中

$$F^2 = f \left(f - \frac{\partial u_g}{\partial y} \right), \omega_g^2 = \frac{g}{\theta_0} \left(-\frac{\partial \theta}{\partial z} \right)$$

$$S^4 = f^2 \left(\frac{\partial u_g}{\partial y} \right)^2$$

當 $F^2 \omega_g^2 / S^4 < 1$ ，即 θ 面的斜率大於M的斜率時，為對稱(斜對流)不穩定，而

$$F^2 \omega_g^2 - S^4 = (\rho f g \theta) \left[\left(\xi_\theta + f \right) \left(-g \frac{\partial \theta}{\partial p} \right) \right]$$

式中[]部份為基流的位渦度，在北半球綜觀尺度運動中[] $>$ 0，即 $F^2 \omega_g^2 - S^4 > 0$ 或 $F^2 \omega_g^2 / S^4 > 1$ ，即在正常狀況下，是對稱穩定的。但當

大氣飽和時， $\frac{\partial \theta}{\partial p} \rightarrow \frac{\partial \theta_E}{\partial p}$ 而 $\theta_E = \theta + 3r$ ，

$r = \rho_w \rho_d$ ，即

$$\frac{\partial \theta_E}{\partial p} = \frac{\partial \theta}{\partial p} + 3 \frac{\partial r}{\partial p}$$

因為 $\frac{\partial r}{\partial p} > 0$ ，即r隨p減小而減小，所以

$\frac{\partial \theta_E}{\partial p}$ 可能 $>$ 0，而[]有可能 $<$ 0，即

$F^2 \omega_g^2 - S^4$ 有可能 $<$ 0，也就是說，當空氣柱

上乾下濕，使得 $\left| \frac{\partial r}{\partial p} \right| > \left| \frac{\partial \theta}{\partial p} \right|$ 時即為對

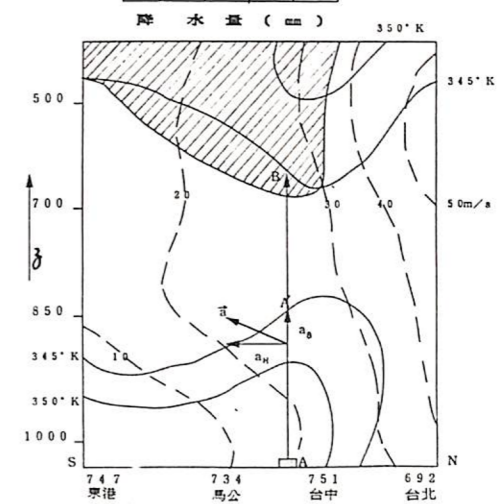
稱不穩定。其次，在噴射氣流附近， $(f - \partial u_g / \partial y)$ 可能小於0，而使

$$\frac{d u}{dt} = -f \left(f - \frac{\partial u_g}{\partial y} \right) \delta y > 0$$

即產生 $\vec{u}/dt > 0$ ，即偏地轉風加大，形成慣性不穩定。

圖十三為民國76年6月8日0000UTC的探空剖面圖，由圖可知A \rightarrow A'， θ 減小，為靜力不穩定產生向上加速度， $M < M' \rightarrow$ 偏南；A' \rightarrow B，M仍小於M'，斜對流不穩定，即等熵慣性不穩定。所以南部下層為靜力不穩定，上層為斜對流不穩定(斜線部份)。如果A'繼續上升至上層 $\theta = 345^\circ \text{K}$ 處(中間一段為對流中性穩定)，則為斜對流的等熵慣性不穩定。

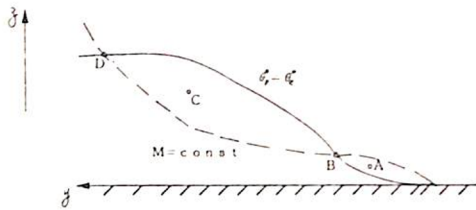
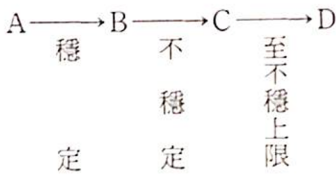
地方	台中	台南	岡山	嘉義
降水量	8.0	3.5	9.6	8.9



圖十三 斜對流不穩定個案

對濕空氣而言，亦可使用 $\theta^* = \theta (1 + 0.61q)$ ，q為比濕，圖十四中 $\theta_p^* = \theta_e^*$ 表示在此線上斜對流氣塊之 θ_p^* 始終保持與環境之

θ_e 相等，B 為不穩定與穩定的分界線。即



圖十四

五、結 語

引唐劉禹錫的“竹枝詞”做尾，「楊柳青青江水平，聞郎江上唱歌聲；東邊日出西邊雨，道是無晴還有晴！」這中間有你我，也有我們的工作。

有關鋒面的問題大家雖有相當瞭解，但由於它包括著綜觀尺度的機制，與中尺度（橫鋒面方向尤顯著）的機制，因而仍有許多問題待深入探究。今天的報告很簡要，不足之處尚祈不吝指正。

致 謝

感謝民航局氣象中心邀約講授，空軍氣象中心徐忠民預報長整理。並向參與討論的蒲副主任金標及其他同仁的意見。

參考資料

王崇岳，1979：天氣學（p.33—），正中書局。
 陳泰然，1989：天氣學原理。聯經出版社。
 Bennetts, D.A., & B.J. Hoskins, 1979:
 Conditional symmetric instability-
 A possible explanation for frontal
 rainbands, QJRMS.
 Dutton, J.A., 1976: The Ceaseless Wind.
 McGraw-Hill book Comany.

Emanuel, K., 1984: Symmetric Instability.
 NCAR Lecture notes.
 Haltiner, G.J., & F.L. Martin, 1957:
 Dynamic and Physical Meteorology.
 Wiley New York.
 Holton, J.R., 1992: An Introduction to
 Dynamic Meteorology. Academic press,
 INC.
 Lilly, D., 1986: Instabilities (In "Mesos-
 cale Meteorology and forecasting,
 edited by Peter S. Ray, chapter 11).
 Rogers, R.R. & M.K. Yau, 1989: A short
 course in cloud physics. Pergamen
 Press.